

# Вкупна должина на дојирот кај цилиндричните зајчестии парови

## 1. Вовед

Точната вредност на напрегањата од површински притисок, како и во коренот на забецот кај цилиндричните запчести парови со прави и коси запци, зависи од точната вредност на ефективната (вкупна) должина на допирот  $b_{ef}$  на сите моментно спрегнати парови од запци, при:

$b_{ef} = l_z = \frac{b}{Z_\epsilon^2}$  каде што, според **DIN 3990**, вредноста на факторот на спрегнување  $Z_\epsilon^2$  се пресметува според емпириската формула

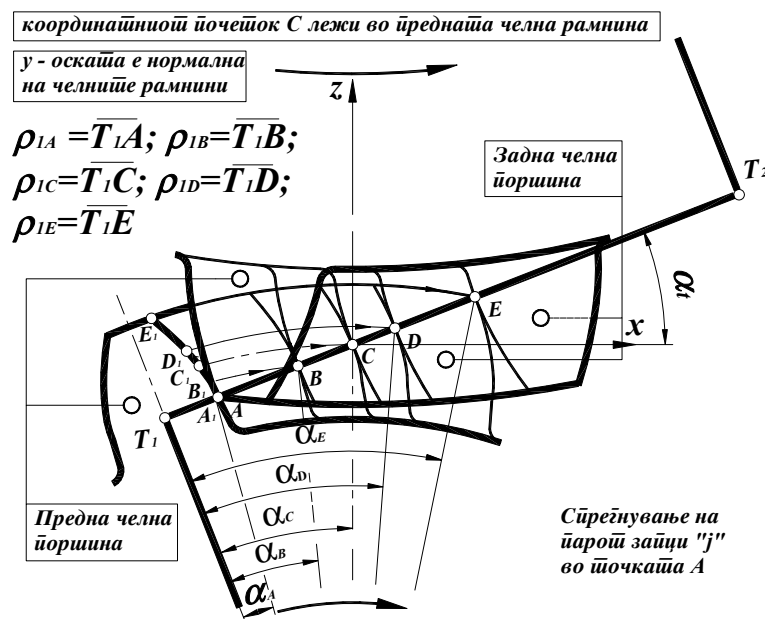
$$Z_\epsilon^2 = \frac{4 - \epsilon_\alpha}{3} (1 - \epsilon_\beta) + \frac{\epsilon_\beta}{\epsilon_\alpha}$$

што дава точни резултати само за целобројни вредности на степенот на спрегнување на бочните линии  $\epsilon_\beta$  додека за други, произволни, вредности ( $\epsilon_\beta \neq n$ ), вредноста на збирната (вкупна) должина на допир  $b_{ef} = l_z$  е неточна; за некои вредности на  $\epsilon_\beta$  е поголема, а за други помала од вистинската вредност. Ова значи дека и вредноста на напонот е точно пресметана само кога степенот на спрегнување на бочните линии има целобројна вредност ( $\epsilon_\beta = n$ ).

## 2. Сиреѓнување во карактеристичните точки на дојирницата

**Дефиниција:**

Ако профилите на сиреѓнајниот пар зајци "j" во предната челна рамнина се дојираат во точката "i" (A, B, D или E), велиме дека е осигурено сиреѓнување во точката "i".



Сл. 1. Сиреѓнај пар од зајци, постојан во просторниот координатен систем

## 2.1. Координати на карактеристичните точки од сирењата, во однос на дефинираној координатен систем

За апсцисата на допирните точки, според прикажаното на **Сл. 1** може да се напише:

$$X_i = r_i \sin(\alpha_i - \alpha_t) \quad \text{или} \quad X_i = (\rho_{1i} - \rho_{1C}) \cos \alpha_t$$

или конкретно:

$$X_A = r_A \sin(\alpha_A - \alpha_t) \quad \text{или} \quad X_A = (\rho_{1A} - \rho_{1C}) \cos \alpha_t$$

$$X_B = r_B \sin(\alpha_B - \alpha_t) \quad \text{или} \quad X_B = (\rho_{1B} - \rho_{1C}) \cos \alpha_t$$

$$X_C = r_C \sin(\alpha_C - \alpha_t) \quad \text{или} \quad X_C = (\rho_{1C} - \rho_{1C}) \cos \alpha_t$$

$$X_D = r_D \sin(\alpha_D - \alpha_t) \quad \text{или} \quad X_D = (\rho_{1D} - \rho_{1C}) \cos \alpha_t$$

$$X_E = r_E \sin(\alpha_E - \alpha_t) \quad \text{или} \quad X_E = (\rho_{1E} - \rho_{1C}) \cos \alpha_t$$

а за апликатите на истите:

$$Z_i = r_i \cos(\alpha_i - \alpha_t) - r_C \quad \text{или} \quad Z_i = (\rho_{1i} - \rho_{1C}) \sin \alpha_t$$

$$Z_A = r_A \cos(\alpha_A - \alpha_t) - r_C \quad \text{или} \quad Z_A = (\rho_{1A} - \rho_{1C}) \sin \alpha_t$$

$$Z_B = r_B \cos(\alpha_B - \alpha_t) - r_C \quad \text{или} \quad Z_B = (\rho_{1B} - \rho_{1C}) \sin \alpha_t$$

$$Z_C = r_C \cos(\alpha_C - \alpha_t) - r_C \quad \text{или} \quad Z_C = (\rho_{1C} - \rho_{1C}) \sin \alpha_t$$

$$Z_D = r_D \cos(\alpha_D - \alpha_t) - r_C \quad \text{или} \quad Z_D = (\rho_{1D} - \rho_{1C}) \sin \alpha_t$$

$$Z_E = r_E \cos(\alpha_E - \alpha_t) - r_C \quad \text{или} \quad Z_E = (\rho_{1E} - \rho_{1C}) \sin \alpha_t$$

Според прикажаното на **Сл. 2**, за ординатата на допирните точки важи следниот израз

$$Y_i = \varepsilon_{\beta i} p_x$$

или конкретно:

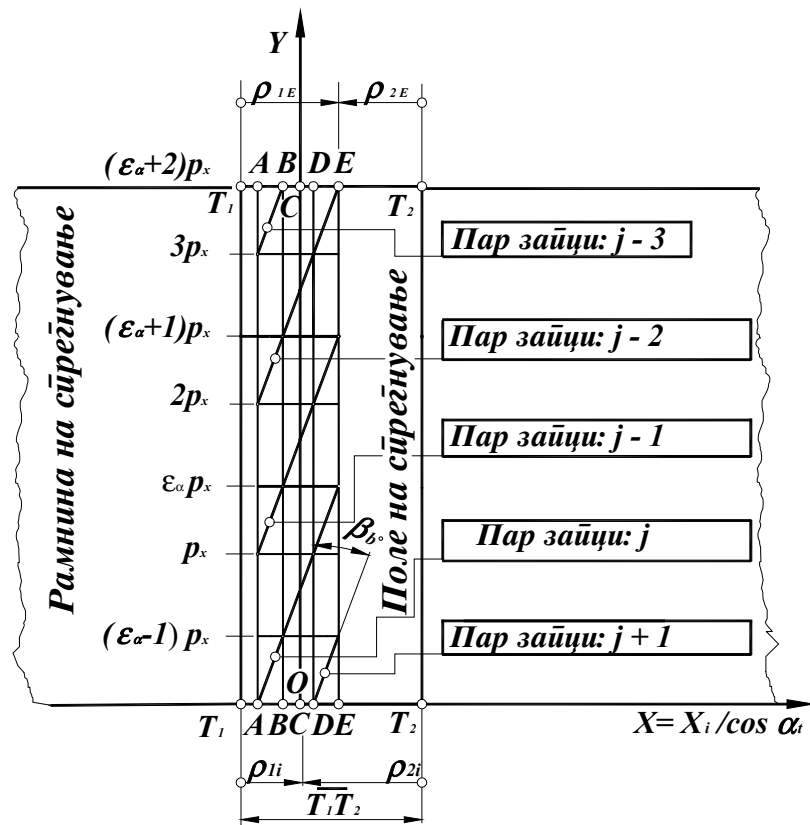
$$Y_A = \varepsilon_{\beta A} p_x = 0 \cdot p_x = 0, \quad Y_B = \varepsilon_{\beta B} p_x = (\varepsilon_\alpha - 1) p_x, \quad Y_C = \varepsilon_{\beta C} p_x,$$

$$Y_D = \varepsilon_{\beta D} p_x = 1 \cdot p_x \quad \text{и} \quad Y_E = \varepsilon_{\beta E} p_x = \varepsilon_\alpha p_x$$

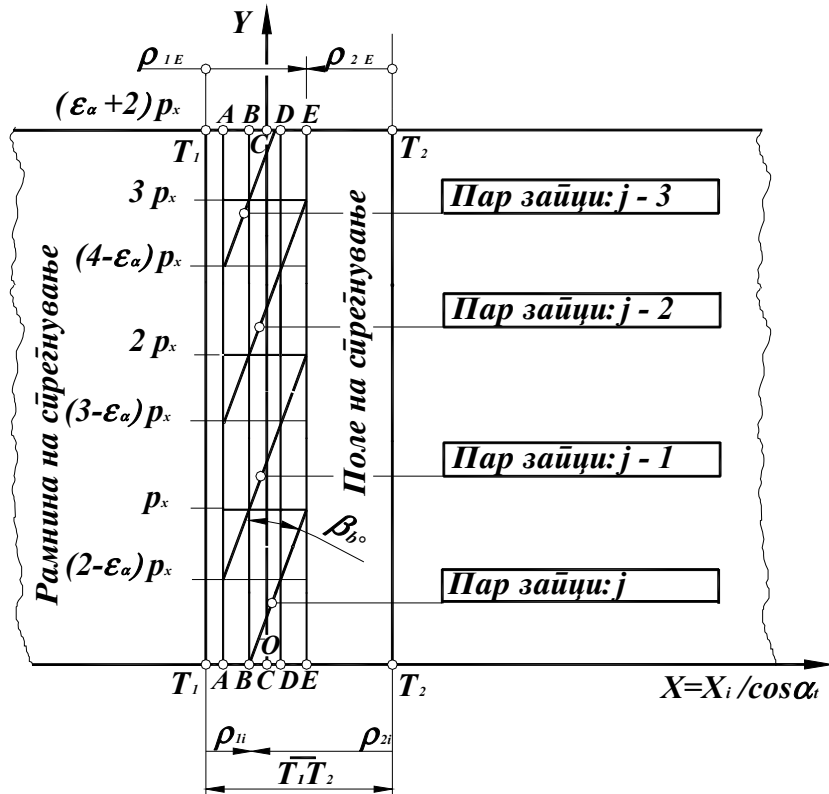
## 3. Поле на сирењување

На **Сл.2** е прикажано полето на спрегнување за парот запци “**ј**” во почетната точка од спрегата “**А**”, а на **Сл.3** спрегнување на истиот пар од запци во точката “**В**”.

---



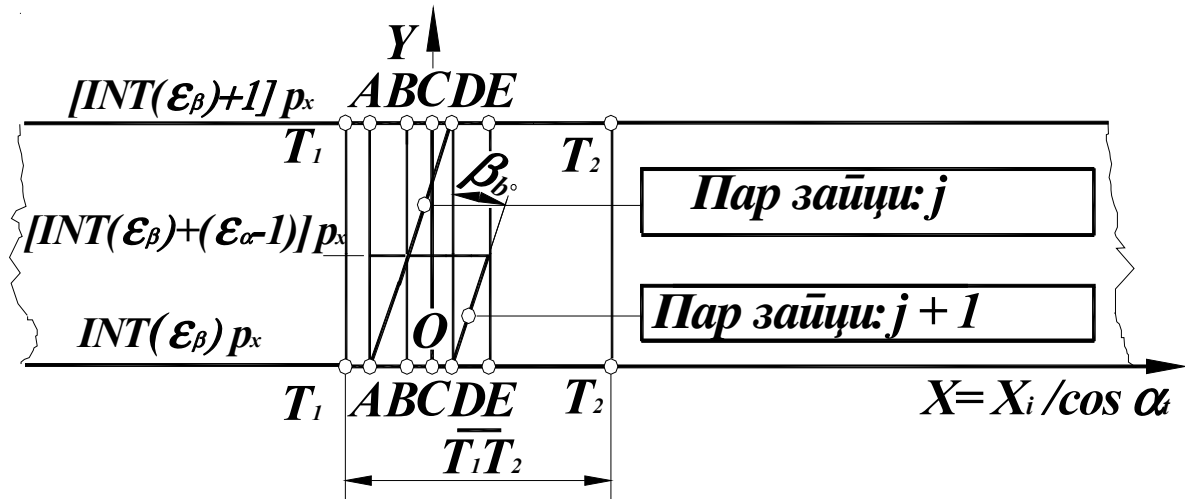
Сл. 2. Сирегнување на пароӣ зайци “*j*” во шочка̄та “*A*” или “*j+1*” во “*D*”



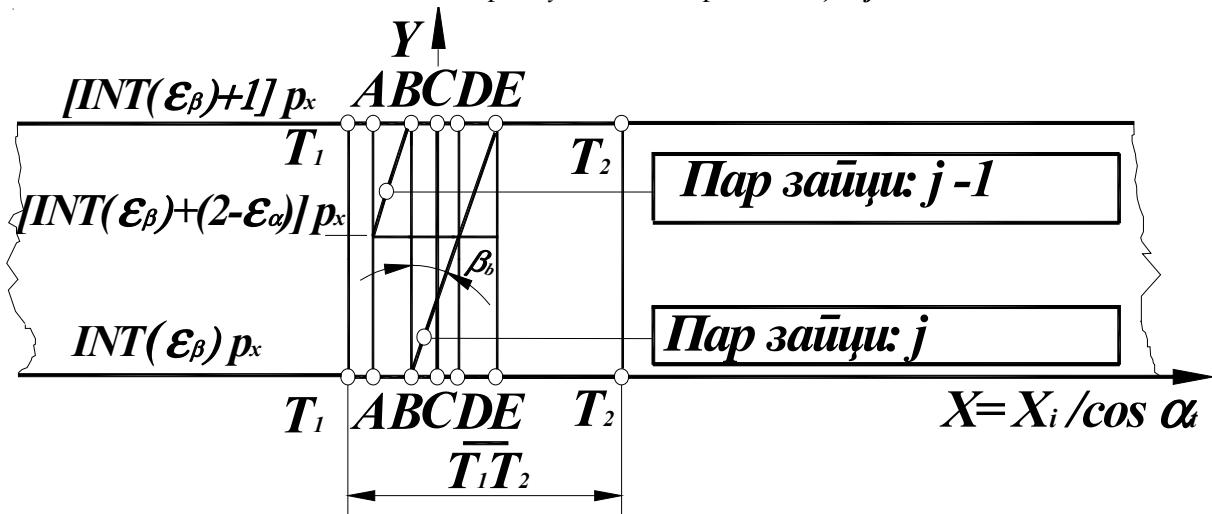
Сл. 3. Сирегнување на пароӣ зайци “*j*” во шочка̄та “*B*” или “*j+1*” во “*E*”

### 3.1. Воошйїено йоле на сїреґнување

Со анализа на последните две слики, се гледа дека вкупното поле на спрегнување, всушност, представува повторување на полето на спрегнување за  $0 < \epsilon_\beta = 1$ , па, со оглед на тоа може да се нацрта воопштено поле на спрегнување за  $\epsilon_\beta > 0$ , така како што е прикажано на сликите 4 и 5, за спрегнување во  $A$ , односно  $B$ .



Сл. 4. Воошйїено йоле на сїреґнување на йаройї зайци "j" во йочкаїа "A"



Сл. 5. Воошйїено йоле на сїреґнување на йаройї зайци "j" во йочкаїа "B"

Очигледно е од последните слики дека, за произволна вредност на степенот на спрегнување на бочните линии  $\epsilon_\beta > 0$ , за спрегнување во  $A$  и  $D$  се добива максимална вредност на збирната должина на допирот -  $\max l_z$ , а за спрегнување во  $B$  и  $E$  се добива минималната должина на допирот -  $\min l_z$  од сите парови запци што учествуваат во спрегнувањето.

## 4. Збирна должина на дойрој - $l_z$

### 4.1. $\varepsilon_\beta = 1$

Од *Сл. 4*, максималната збирна должина на допирот на двата спрегнати парови запци изнесува:

$$\max l_z^{\varepsilon_\beta=1} = (1 + \varepsilon_\alpha - 1) \frac{P_x}{\cos \beta_b} = \varepsilon_\alpha \cdot \frac{P_x}{\cos \beta_b} \quad (1)$$

а од *Сл. 5*, минималната збирна должина на допирот на двата спрегнати парови запци изнесува:

$$\min l_z^{\varepsilon_\beta=1} = (1 - 2 + \varepsilon_\alpha + 1) \frac{P_x}{\cos \beta_b} = \varepsilon_\alpha \cdot \frac{P_x}{\cos \beta_b} = \max l_z^{\varepsilon_\beta=1} \quad (2)$$

### 4.2. $\varepsilon_\beta \neq 1$

**4.2.1.  $\varepsilon_\beta - INT(\varepsilon_\beta) < \varepsilon_\alpha - 1$** , се добива:

$$\max l_z = [INT \varepsilon_\beta \cdot \max \varepsilon_{\beta z}^{\varepsilon_\beta=1} + 2(\varepsilon_\beta - INT \varepsilon_\beta)] \frac{P_x}{\cos \beta_b}$$

т.е.

$$\max l_z = [2\varepsilon_\beta - INT \varepsilon_\beta (2 - \varepsilon_\alpha)] \frac{P_x}{\cos \beta_b} \quad (3) \text{ или 1.56 од [1]}$$

**4.2.2.  $\varepsilon_\beta - INT(\varepsilon_\beta) > \varepsilon_\alpha - 1$** , се добива

$$\max l_z = [INT \varepsilon_\beta \cdot \max \varepsilon_{\beta z}^{\varepsilon_\beta=1} + \varepsilon_\beta - INT \varepsilon_\beta + \varepsilon_\alpha - 1] \frac{P_x}{\cos \beta_b}$$

т.е.

$$\max l_z = [\varepsilon_\beta + (\varepsilon_\alpha - 1)(1 + INT \varepsilon_\beta)] \frac{P_x}{\cos \beta_b} \quad (4) \text{ или 1.57 од [1]}$$

и

**4.2.3.  $\varepsilon_\beta - INT(\varepsilon_\beta) < 2 - \varepsilon_\alpha$** , се добива:

$$\min l_z = [INT \varepsilon_\beta \cdot \min l_z^{\varepsilon_\beta=1} + \varepsilon_\beta - INT \varepsilon_\beta] \frac{P_x}{\cos \beta_b}$$

т.е.

$$\min l_z = [\varepsilon_\beta + INT \varepsilon_\beta (\varepsilon_\alpha - 1)] \frac{P_x}{\cos \beta_b} \quad (5) \text{ или 1.58 од [1]}$$

**4.2.4.  $\varepsilon_\beta - INT(\varepsilon_\beta) > 2 - \varepsilon_\alpha$** , се добива

$$\min l_z = [INT \varepsilon_\beta \cdot l_z^{\varepsilon_\beta=1} + \varepsilon_\beta - INT \varepsilon_\beta + \varepsilon_\beta - INT \varepsilon_\beta - (2 - \varepsilon_\alpha)] \frac{P_x}{\cos \beta_b}$$

т.е.

$$\min l_z = [2\varepsilon_\beta - (2 - \varepsilon_\alpha)(INT \varepsilon_\beta + 1)] \frac{P_x}{\cos \beta_b} \quad (6) \text{ или 1.59 од [1]}$$

## 5. Збирна должина на допирот за специфични зајчестии парови

Под поимот “специфични” се подразбираат запчести парови со специфични вредности на степенот на спрегнување на профилот  $\epsilon_\alpha$  и на бочните линии  $\epsilon_\beta$ .

### 5.1. $\epsilon_\beta = n$ ( $n = 1, 2, 3 \dots n$ )

Во ваков случај критериумот

$\epsilon_\beta - INT \epsilon_\beta = n - n = 0 < \epsilon_\alpha - 1$ , па во однос на максималната збирна должина на допирот, за спрегнување во почетната точка од спрегата  $A$  и  $D$  важи изразот (3), од каде се добива

$$\max l_z = [2n - n(2 - \epsilon_\alpha)] \frac{P_x}{\cos \beta_b} = n \cdot \epsilon_\alpha \frac{P_x}{\cos \beta_b} \quad (7)$$

при што за  $n = 1 = \epsilon_\beta$  се добива познатиот израз (1).

Во ваков случај критериумот

$\epsilon_\beta - INT \epsilon_\beta = n - n = 0 < 2 - \epsilon_\alpha$ , па во однос на минималната збирна должина на допирот, за спрегнување во точките  $B$  и  $E$  важи изразот (5), од каде се добива

$$\min l_z = [n + n(\epsilon_\alpha - 1)] \frac{P_x}{\cos \beta_b} = n \epsilon_\alpha \frac{P_x}{\cos \beta_b} = \max l_z \quad (8)$$

при што за  $n = 1 = \epsilon_\beta$ , исто така, се добива познатиот израз (2).

### 5.2. $\epsilon_\alpha = 1,5$

Во овој случај  $\epsilon_\alpha - 1 = 0,5 = 2 - \epsilon_\alpha$

па за  $\epsilon_\beta - INT(\epsilon_\beta) < \epsilon_\alpha - 1 = 0,5$  од (3) се добива:

$$\max l_z = [2\epsilon_\beta - 0,5 \cdot INT \epsilon_\beta] \frac{P_x}{\cos \beta_b} \quad (9)$$

и за  $\epsilon_\beta - INT(\epsilon_\beta) < 2 - \epsilon_\alpha = 0,5$  од (5) се добива:

$$\min l_z = [\epsilon_\beta + INT \epsilon_\beta \cdot 0,5] \frac{P_x}{\cos \beta_b} = 1,5 \epsilon_\beta \frac{P_x}{\cos \beta_b} \quad (10)$$

За  $\epsilon_\beta - INT(\epsilon_\beta) > \epsilon_\alpha - 1 = 0,5$

од (4) следува

$$\max l_z = [\epsilon_\beta + 0,5 \cdot (INT \epsilon_\beta + 1)] \frac{P_x}{\cos \beta_b} \quad (11)$$

и од (6) се добива

$$\min l_z = [2\epsilon_\beta - (INT \epsilon_\beta + 0,5)] \frac{P_x}{\cos \beta_b} \quad (12)$$

### 5.3. $\epsilon_\alpha = 1,5$ и $\epsilon_\beta = n$

Во овој случај исполнет е условот  $\epsilon_\beta - INT(\epsilon_\beta) = n - n = 0 < 0,5 = \epsilon_\alpha - 1 = 1,5 - 1$  па затоа, од (9) се добива:

$$\max l_z = [2n - 0,5 \cdot n] \frac{P_x}{\cos \beta_b} = 1,5n \frac{P_x}{\cos \beta_b} \quad (13)$$

а бидејќи и условот  $\epsilon\beta - INT(\epsilon\beta) = n - n = 0 < 0,5 = 2 - 1,5 = 2 - \epsilon\alpha$  од (10) се добива:

$$\min l_z = [n + n \cdot 0,5] \frac{P_x}{\cos \beta_b} = 1,5n \frac{P_x}{\cos \beta_b} = \max l_z \quad (14)$$

#### 5.4. $\epsilon\alpha = 1,5$ и $\epsilon\beta = 1$

Ако во (13) се замени  $n$  со  $1$  се добива:

$$\max l_z = [2 \cdot 1 - 0,5 \cdot 1] \frac{P_x}{\cos \beta_b} = 1,5 \cdot \frac{P_x}{\cos \beta_b} \quad (15)$$

а пак, ако во (14) се замени  $n = 1$  се добива

$$\min l_z = [1 + 1 \cdot 0,5] \frac{P_x}{\cos \beta_b} = 1,5 \cdot \frac{P_x}{\cos \beta_b} = \max l_z \quad (16)$$

## 6. Заклучок

Во јакосниите пресметки, секаде е меродавна максималната вредност на напонот која пак, е зависна од минималната површина на допирот, што во случајот на јакосниите пресметки на цилиндричните запчести парови се сведува на пресметка на минималната збирна должина на допирот –  $\min l_z$ .

Резултатите од оваа студија што се однесуваат на јакосниите пресметки на цилиндрични запчести парови со коси запци, дефинирани со стандардниот модул  $m$ , бројот на запци на погонскиот и гонетиот запченик  $z_1$  и  $z_2$ , како и со аголот на закосување на запците  $\beta$ , неминовно наведуваат на следните заклучоци и препораки:

1. Важечката формула според **DIN 3990** за пресметка на ефективната должина на допирот  $b_{ef}$  да се замени со еден од наведените изрази за минималната должина на допирот  $\min l_z$ , во зависност од потребната вредност на степенот на спрегнување на бочните линии  $\epsilon\beta$ .
2. Во интерес на мирна и тивка работа на запчениците сепрепорачува избор на целобројни вредности на степенот на спрегнување на бочните линии  $\epsilon\beta = n$  (1, 2,3 и тн.), што се совпаѓа и со препораките на **DIN 3990**. Во овој случај максималната збирна должина на допирот  $\max l_z$  е еднаква со минималната вредност  $\min l_z$ , што резултира со константен (непроменлив) напон во текот на спрегата.
3. Степенот на спрегнување на профилите да се нагоди на вредност  $\epsilon\alpha = 1,5$ , што доведува до упростување на пресметката.

## 7. Литература

1. Климент Тримчевски: “Влијание на релативниот радиус на кривините и на должината на допирните линии врз цврстината на боковите на запците за  $\beta > 0^\circ$ ” – докторска дисертација Скопје 1990 година.